

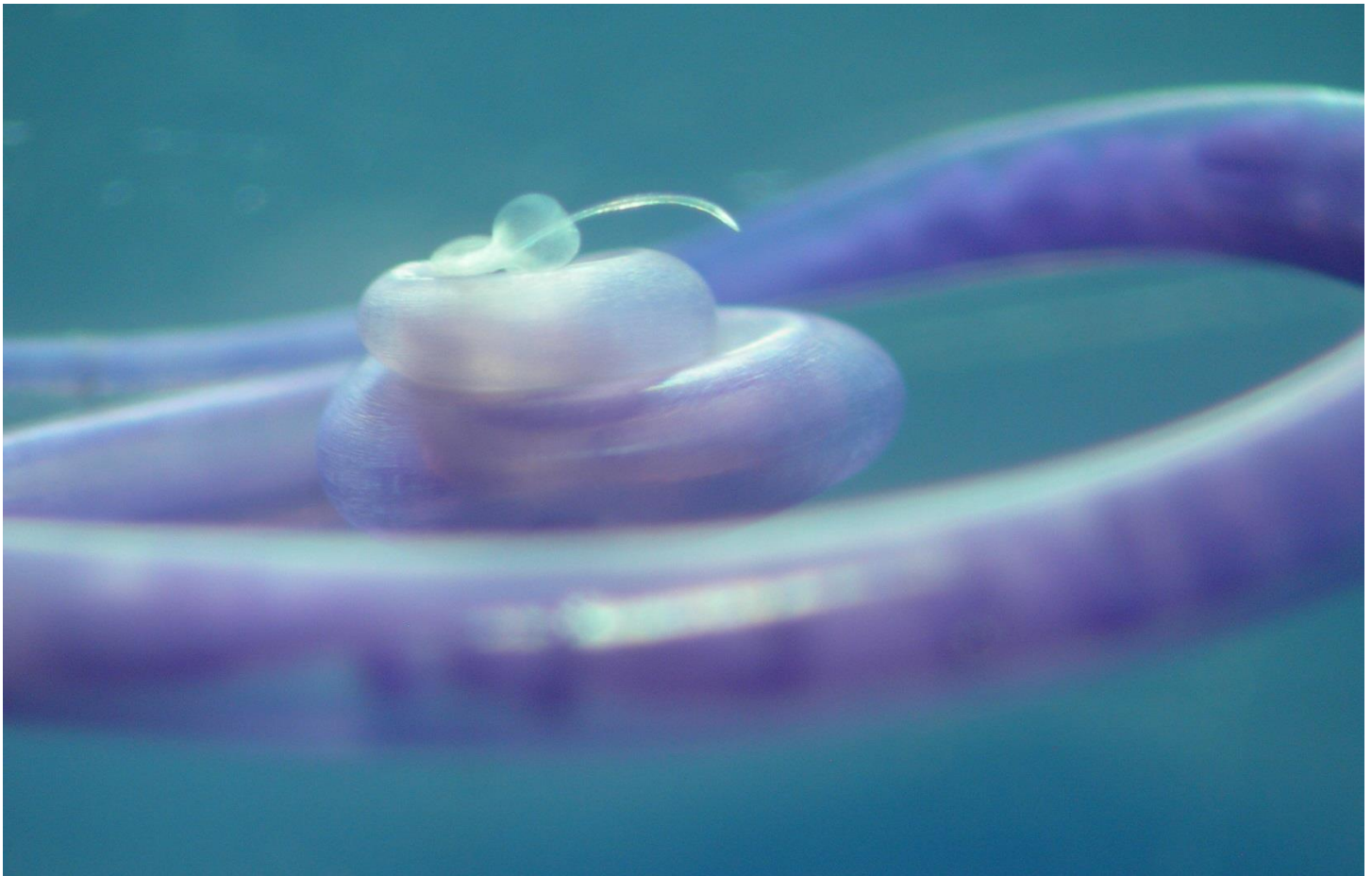


**SOCIEDAD MEXICANA DE PARASITOLOGÍA A.C.**



# **XXI CONAPAR 2016**

**25 AL 28 DE SEPTIEMBRE**



**Conjunto Amoxcalli, Facultad de Ciencias,  
Ciudad Universitaria UNAM, Ciudad de México**



# **XXI**

# **CONGRESO**

# **NACIONAL DE**

# **PARASITOLOGÍA**

# **2016**

**Septiembre 25-28, 2016**

**Sede: Conjunto Amoxcalli, Facultad de Ciencias, UNAM**

**Ciudad de México**



**MESA DIRECTIVA DE LA SOCIEDAD  
MEXICANA DE PARASITOLOGÍA A. C.  
(2015 – 2016)**

**Presidente**

Dr. Luis Fernando Anaya Velázquez

**Secretario**

M. en C. Juan Pablo Martínez Labat

**Tesorera**

Dra. María Magdalena Aguirre García

**Comité Académico**

Dra. Emma Cecilia Saavedra Lira

**Comité de Admisión**

Dr. Luis Felipe Padilla Vaca

**Comité de Comunicación**

Dra. Aurora Elvira Candil Ruiz

**Comité de Eventos**

Dr. Jorge Luis de la Rosa Arana

**Comité de Vinculación**

Dr. Raúl Romero Cabello



# **COMITÉ ORGANIZADOR DEL XXI CONGRESO NACIONAL DE PARASITOLOGÍA 2016**

## **Coordinadora**

Dra. Ma. Guadalupe Ortega Pierres

## **Secretaria**

Dra. Emma Saavedra Lira

## **Finanzas**

Dra. María Magdalena Aguirre García

## **Logística**

Dr. Luis Fernando Anaya Velázquez

M. en C. Juan Pablo Martínez Labat

Dr. Jorge Luis de la Rosa Arana

Dr. Luis Felipe Padilla Vaca



## **Miembros del Comité Científico**

Dra. Emma Saavedra Lira

Dra. Ma. Guadalupe Ortega Pierres

Dr. José Pablo Maravilla Campillo

Dr. Santiago Martínez Calvillo

## PATROCINADORES



FACULTAD DE CIENCIAS, UNAM



CINVESTAV, IPN



UNIVERSIDAD DE GUANAJUATO

Facultad de Medicina



FACULTAD DE MEDICINA, UNAM





## PROGRAMA

<b>DOMINGO 25 DE SEPTIEMBRE</b>		
<b>Hotel Fiesta Inn Periférico Sur</b>		
<b>15:00-17:30</b>	<b>REGISTRO</b>	
<b>17:30-18:00</b>	<b>INAUGURACIÓN</b>	
<b>18:00-19:00</b>	<b>CONFERENCIA INAUGURAL</b> <b>Dra. Julieta Fierro</b> "Astronomía en Mesoamérica" Instituto de Astronomía y Facultad de Ciencias, UNAM, México	
<b>19:00-21:00</b>	<b>EVENTO DE BIENVENIDA</b>	
<b>LUNES 26 DE SEPTIEMBRE</b>		
<b>Conjunto Amoxcalli, Facultad de Ciencias, UNAM</b>		
<b>8:30-15:00</b>	<b>REGISTRO</b>	<b>Aula Sotero Prieto 3</b>
<b>9:00-10:00</b>	<b>Conferencia Plenaria P01</b> <b>Auditorio Alberto Barajas Celis</b> "Parasites, Poverty & Global Health Innovations" <b>Dra. Maria Elena Bottazzi</b> Baylor College of Medicine. Houston, Texas, USA	
<b>10:10-12:40</b>	<b>SIMPOSIOS</b>	<b>LUNES 26 DE SEPTIEMBRE</b>
<b>LEISHMANIOSIS</b>		
<b>Auditorio Alberto Barajas Celis</b>		<b>Coordinador: Magdalena Aguirre García</b>
<b>10:10-10:40</b>	<b>Santiago Martínez Calvillo</b> S-LU-01 La transcripción del RNA pequeño nuclear U2 de <i>Leishmania major</i> es dirigida por cajas A y B extragénicas.	
<b>10:40-11:10</b>	<b>Ingeborg Becker Fauser</b> S-LU-02 Respuesta de células cebadas a la infección natural de <i>Leishmania</i> por <i>Phlebotomus duboscqi</i>	
<b>11:10-11:40</b>	<b>Laila Gutiérrez Kobeh</b> S-LU-03 Si se muere me muero: mecanismos utilizados por <i>Leishmania mexicana</i> para inhibir la apoptosis de las células dendríticas.	





**11:40-12:10 Magdalena Aguirre García**

S-LU-04 Proteína fosfatasa PP2C: Un posible blanco en contra de *Leishmania*.

**12:10-12:40 Norma del Carmen Galindo Sevilla**

S-LU-05 N6-(Ferrocenmetil)Quinazolin-2,4,6-Triamina (H2) un nuevo compuesto para el Tratamiento de Leishmaniasis.

**VACUNAS CONTRA PARÁSITOS**

**Auditorio Carlos Graef Fernández**

**Coordinador: Eric Dumonteil**

**10:10-10:40 Jesus G. Valenzuela**

S-LU-06 Translational aspects of sand fly salivary proteins: from pharmacology to vaccines and markers of vector exposure.

**10:40-11:10 Guadalupe Ortega Pierres**

S-LU-07 Vaccines against *Trichinella spiralis* in rodent models: where are we now and where we should go?

**11:10-11:40 Jorge Luis de la Rosa Arana**

S-LU-08 Influencia del interferón gama en la protección durante la infección experimental de ratones con *Fasciola* o *Trichinella*

**11:40-12:10 Eric Dumonteil**

S-LU-09 Identificación y descubrimiento de antígenos para el desarrollo de vacunas contra enfermedades parasitarias.

**12:10-12:40 Minerva Arce Fonseca**

S-LU-10 Vacunas contra la enfermedad de Chagas.

**HAEMONCHUS**

**Anfiteatro Alfredo Barrera Marín**

**Coordinador: Ma. Eugenia López Arellano**

**10:10-10:40 Agustín Plancarte**

S-LU-11 Una nueva tiorredoxin reductasa de *Haemonchus contortus* (HcTrxR3) con actividad adicional de glutatión reductasa.

**10:40-11:10 Ricardo Gutiérrez-Amézquita**

S-LU-12 Efectos de la progesterona *in vitro* sobre larvas 3 de *Haemonchus contortus*.

**11:10-11:40 Ma. Eugenia López Arellano**

S-LU-13 Comparación de la expresión de citocinas durante diferentes periodos de activación de linfocitos por antígenos de excreción y secreción de *Haemonchus placei*

**11:40-12:10 Adolfo Sánchez-Paredes**

S-LU-14 Expresión de citocinas abomasales asociadas a la protección inducida por un extracto de *Taenia hydatigena* contra la hemoncosis experimental ovina.

**12:10-12:40 Liliana Aguilar Marcelino**

S-LU-15 Evaluación *in vitro* del extracto hidroalcohólico del sustrato agotado del hongo comestible *Pleurotus djamor* contra *Haemonchus contortus* (L3).



<b>12:40-13:00</b>	<b>RECESO</b>	
<b>13:00-14:30</b>	<b>TRABAJOS LIBRES ORALES</b>	<b>LUNES 26 DE SEPTIEMBRE</b>
<b>LEISHMANIA</b>		
<b>Auditorio Carlos Graef</b>	<b>Coordinador: Santiago Martínez Calvillo</b>	
13:00-13:15	Lucía Villalba Andrade	
O-LU-1	Análisis comparativo de la virulencia y la expresión de Fosfatidilserina, Lipofosfoglicano y GP63 en cuatro cepas de <i>Leishmania mexicana</i>	
13:15-13:30	Alma Escalona Montaña	
O-LU-2	Participación de la proteína fosfatasa PP2C en el crecimiento e infección del parásito <i>Leishmania</i>	
13:30-14-13:45	Jaime Zamora Chimal	
O-LU-3	Activación de células NKT por LPG de <i>L. mexicana</i> : descripción de una nueva vía de activación	
13-45-14:00	Ana Mendoza Trujillo	
O-LU-4	Efecto de dos diferentes cepas de <i>Leishmania mexicana</i> : una de un paciente con LCL y otra con LCD sobre la presencia proteica y la actividad de la iNOS en tres poblaciones de macrófagos	
14:00-14-15	Karla Chacón Vargas	
O-LU-5	Evaluación de actividad biológica y del mecanismo de muerte celular inducido por derivados de quinoxalina 1,4 di-N-óxido en <i>L. mexicana</i>	
14:15-14:30	Marco Antonio Martínez	
O-LU-6	Evaluación de <i>Lactobacillus plantarum</i> 299V como adyuvante en la inmunización de ratones BALB/c con <i>Leishmania mexicana</i>	
<b>FILOGENIA Y EPIDEMIOLOGÍA MOLECULAR</b>		
<b>Anfiteatro Alfredo Barrera</b>	<b>Coordinador: Fernando Martínez Hernández</b>	
13:00-13-15	Liliana Rojas-Velázquez	
O-LU-7	Cambio en las frecuencias de <i>Entamoeba histolytica</i> / <i>Entamoeba dispar</i> y <i>Blastocystis</i> sp en el estado de Morelos, México	
13:15-13:30	Manuel Isaac Villegas Gómez	
O-LU-8	Caracterización molecular de subtipos genéticos de <i>Blastocystis</i> sp. en muestras de heces de portadores de Hermosillo, Sonora.	
13:30-13:45	Alejandro Urrea Quezada	
O-LU-9	Subgenotipificación de <i>Cryptosporidium</i> mediante el análisis del polimorfismo del gen de la GP60 en muestras de heces humanas	
13:45-14:00	Rosario Briosio-Aguilar	
O-LU-10	Posición filogenética de <i>Clinostomum heluans</i> (Tremátoda) dentro del género <i>Clinostomum</i> utilizando secuencias de genes nucleares (ITS1-5.8S-ITS2).	



14:00-14:15 Nallely Georgina Ruiz Torres O-LU-11 Posición filogenética de <i>Syndesmis</i> spp. (Platyhelminthes: Rhabdocoela: Umagillidae) simbioses de erizos de mar. ¿Múltiples orígenes del parasitismo?		
14:15-14:30 Ricardo Salas-Montiel O-LU-12 Diversidad genética y estructura poblacional de la sanguijuela medicinal norteamericana <i>Macrobdella decora</i> (Annelida:Clitellata).		
<b>PROTOZOARIOS 1 (<i>Toxoplasma</i> y <i>Blastocystis</i>)</b>		
<b>Aula Leonila Vázquez</b>		<b>Coordinador: Pablo Maravilla Campillo</b>
13:00-13:15 Manuel González del Carmen O-LU-13 Cambios morfológicos y funcionales en osteoblastos invadidos con <i>Toxoplasma gondii</i> .		
13:15-13:30 Fernando Gómez-Chávez O-LU-14 Paradójica relación entre la respuesta inmune materna, la transmisión vertical y la patología neonatal en la toxoplasmosis congénita.		
13:30-13:45 Irma Cañedo Solares O-LU-15 El reconocimiento de los taquizoitos de <i>Toxoplasma gondii</i> por anticuerpos IgG1 favorece su entrada a células endoteliales humanas.		
13:45-14:00 Joel Martínez Ocaña O-LU-16 Identificación de la alfa-L-Fucosidasa ALF en <i>Blastocystis</i> .		
14:00-14:15 Eduardo López-Escamilla O-LU-17 Identificación de <i>Blastocystis</i> en animales de vida silvestre en México.		
14:15-14:30 Evelin Verenice Pérez Gallardo O-LU-18 Alta prevalencia de <i>Blastocystis hominis</i> en una población del Estado de México en la estación cálida-lluviosa del año.		
<b>14:30-16:00 COMIDA</b>		
<b>16:00-17:30 CARTELES LUNES 26 DE SEPTIEMBRE</b>		
C-LU-01 José Trinidad Sánchez-Vega Aracnoidismo necrótico por <i>Zorocrates guerrerensis</i> . Primer caso reportado en México.		
C-LU-02 Nadia Soto-Olguín Detección de <i>Bartonella</i> sp., en especies de <i>Lutzomyia</i> del noreste de México.		
C-LU-03 Kevin Alejandro Hernández Vilchis Detección de <i>Ehrlichia</i> sp. en mamíferos pequeños del estado de Hidalgo, México		
C-LU-04 Diana Melissa Navarrete Sotelo Primer registro de <i>Francisella</i> sp. en roedores de Hidalgo, México		



C-LU-05	Mario Mata Galindo Primer registro de <i>Wolbachia sp.</i> en piojos y pulgas asociados con mamíferos pequeños del estado de Hidalgo, México
C-LU-06	Kenia Samantha Contreras-Mirón Bacterias endosimbiontes de sanguijuelas; Caracterización de <i>Reichenowia ringueleti</i> (Alphaprotobacteria) mediante técnicas de Microscopía Electrónica.
C-LU-07	Elvia Rodríguez Bataz <i>Blastocystis spp.</i> , sintomatología y factores de riesgo en niños de localidades indígenas en el estado de Guerrero, México
C-LU-08	Guadalupe Citlali Núñez Lua Estudio de los polimorfismos genéticos del gen rpl2 de <i>Blastocystis spp.</i>
C-LU-09	Nelly Raquel González Arenas Análisis de la Catepsina B de <i>Blastocystis</i> . estudio de casos y controles
C-LU-10	Roxana Herrera-Balcázar Seroprevalencia de anticuerpos anti- <i>Leishmania sp</i> en coatis y mapaches del parque ecológico La Venta, Tabasco.
C-LU-11	Juan Pablo Martínez Labat Determinación de la presencia y cantidad de cisticercoides de <i>Dipylidium caninum</i> en pulgas <i>Ctenocephalides spp.</i>
C-LU-12	Aurora Candil Ruiz Infección por <i>Dipylidium caninum</i>
C-LU-13	José Luis Romero Zamora Características clínicas y de diagnóstico en niños con hidatidosis, estudiados en el Hospital Infantil de México Federico Gómez
C-LU-15	Rosa Isabel Higuera Piedrahita Evaluación del efecto de Artemisia cina 30 CH y el extracto etanólico de <i>A. cina</i> en una infección controlada con <i>Haemonchus contortus</i> en ovinos.
C-LU-16	Rosa Isabel Higuera Piedrahita Efecto del extracto de semilla de papaya ( <i>Carica papaya</i> ) en dos solventes: etanólico: acetonitrilo (50:50) y acetonitrilo sobre L3 de <i>Haemonchus contortus</i> .
C-LU-17	María Teresa Quintero-Martínez Sobre un caso de dermatitis en humanos al contacto con hormigas.
C-LU-18	Marcela Ariadne A Delgado Gasca Análisis del efecto inmunoprotector de la Triosa Fosfato-Isomerasa (TIM) de <i>Leishmania mexicana</i> contra la infección en ratones BALB/c.
C-LU-19	Laura Enedina Soto Serna Efecto de la dieta de garbanzo en la infección por <i>Leishmania mexicana</i> de ratones BALB/c



C-LU-20	Marco David Ornelas Cruces Participación de la proteína fosfatasa 2C en la modulación de la apoptosis del parásito <i>Leishmania</i>
C-LU-21	Raquel Torres Vélez Efecto de $\alpha$ -galactosilceramida y LPS como adyuvantes contra <i>Leishmania mexicana</i>
C-LU-22	Luis Enrique Florencio Martínez En <i>Leishmania major</i> los genes del RNA ribosomal 5S no están asociados al nucléolo, sino dispersos en el núcleo
C-LU-23	Fiordaliso Carolina Román-Carraro Caracterización molecular de Bdp1, subunidad del factor de transcripción TFIIIB, en <i>Leishmania major</i>
C-LU-24	Eddie E. Gonzalez Tafoya Linfocitos B fagocitan in vitro e in vivo amastigotes de <i>Leishmania mexicana</i>
C-LU-25	Mariana Diupotex Murillo Caracterización de la infectividad de las cepas de <i>Leishmania mexicana</i> transfectadas con las proteínas fluorescentes sfGFP o mKATE
C-LU-26	Mariana Zuñiga Fabian Expresión de una Proteína fosfatasa PP2C de promastigotes de <i>Leishmania mexicana</i>
C-LU-27	Dalia Margarita Ortiz-Lozano Efecto de proteínas fosfatasas secretadas por promastigotes y amastigotes de <i>Leishmania mexicana</i> en la secreción de citocinas por macrófagos
C-LU-28	Ilse Rivera Fernández Efecto de los amastigotes de <i>Leishmania mexicana</i> en la fagocitosis y producción de citocinas en células dendríticas murinas
C-LU-29	Tonantzin Real Rojas Efecto de glicina en la infección por <i>Leishmania mexicana</i> de ratones BALB/c
C-LU-30	Arturo Alfredo Wilkins Rodríguez Efecto de los amastigotes de <i>Leishmania mexicana</i> de cepas aisladas de pacientes con leishmaniasis cutánea localizada y leishmaniasis cutánea difusa en el metabolismo de la L-arginina a través de la óxido nítrico sintasa inducible y de la arginasa 1
C-LU-31	Claudia Irais Muñoz-García Miasis canina por <i>Lucilia</i> en la región centro de México, descripción de caso
C-LU-33	Karina Vargas López Códigos de barras genéticos y parámetros ecológicos de larvas de nematodos y pentastómidos de peces de consumo humano en la Ciudad de México (La Viga)
C-LU-34	Liliana Aguilar Marcelino Daño ultraestructural inducido por dos fracciones metanólicas del hongo comestible <i>Pleurotus djamor</i> sobre larvas histiotrópicas de <i>Haemonchus contortus</i> (L4)



C-LU-35	Claudia Campos Juárez Desparasitación Ovina Beneficio económico o Buenas Prácticas
C-LU-36	Perla María del Carmen Acevedo Ramírez Parásitos gastrointestinales de ovinos de Temascaltepec, Estado de México.
C-LU-37	José Luis Romero Zamora Toxocariasis y Síndrome Linfoproliferativo en un niño Post-transplantado de corazón. Reporte del primer caso en la literatura
C-LU-38	Lorena Chávez-Güitrón Expresión y localización de posibles receptores de progesterona en larvas de <i>Toxocara canis</i>
C-LU-39	Gerardo M. Corral Ruíz Estudio de la evolución de las alteraciones microscópicas asociadas a la presencia de huevos larvados y antígenos de secreción y excreción de <i>Toxocara canis</i> en tejido pulmonar de ratas Wistar con infección inducida.
C-LU-40	Juan Pablo Martínez Labat Evaluación de la actividad antiparasitaria de un producto microfilaricida contra las larvas de <i>Toxocara canis</i> , en ratones CD-1 con infección inducida.
C-LU-41	Nadyeli Nava Cortès Anticuerpos Anti- <i>Toxocara canis</i> y factores de riesgo en niños del Estado de México.
C-LU-42	Aarón Rodríguez-Caballero Análisis de la cinética de liberación de antígenos y producción de anticuerpos anti- <i>Toxocara canis</i> en un modelo <i>in vivo</i> .
C-LU-43	Leticia Ruiz González Contaminación fecal por cánidos y el riesgo de infección por <i>Toxocara canis</i> en la unidad habitacional "Las Fuentes" en Ecatepec de Morelos Estado de México
C-LU-44	Verónica Castillo Campos Procesos de oxidación avanzada con ozono y peróxido de hidrógeno para inactivar huevos de helminto <i>Toxocara canis</i> y quistes del protozoario <i>Giardia lamblia</i>
C-LU-45	Jocelyn Pineda Cruz Efecto del estatus nutricional con la migración de <i>Toxocara canis</i> en ratones
C-LU-46	Andrea Aguirre-Estrada Amplificación del DNA de <i>Leishmania</i> sp a partir de improntas para mejorar la oportunidad diagnóstica y la vigilancia epidemiológica
C-LU-47	Diana Miriam Barrios Bautista Determinación de la relación entre la carga parasitaria y el linaje de <i>Toxoplasma gondii</i> con el desarrollo de manifestaciones clínicas en pacientes con diagnóstico de toxoplasmosis congénita.
C-LU-48	Kitzia Nohemí Castro-Elizalde Cambios en la distribución del citoesqueleto y organelos de la célula hospedera durante la cigotogénesis de <i>Toxoplasma gondii</i>



C-LU-49	Carlos Cedillo-Peláez Co-infección de <i>Toxoplasma gondii</i> y herpesvirus en canguros rojos ( <i>Macropus rufus</i> )
C-LU-50	Carlos Cedillo-Peláez Estudio comparativo de la distribución de quistes tisulares de <i>Toxoplasma gondii</i> en sistema nervioso central de animales domésticos y fauna silvestre
C-LU-51	José Antonio Vargas-Villavicencio La gestación desencadena mayor carga parasitaria y daño histopatológico por <i>Toxoplasma gondii</i> en un modelo murino
C-LU-52	Luz Belinda Ortiz-Alegría El polimorfismo VNTR2 del promotor del receptor neonatal para Fc de la IgG (FcRn) se asocia con transmisión vertical de <i>T. gondii</i> y con daño en los recién nacidos
C-LU-53	Mónica Ivonne Aguilar Orozco El modelo murino de toxoplasmosis congénita del tercer tercio de la gestación reproduce lo que ocurre en seres humanos
C-LU-54	Carlos Jorge Ramírez-Flores Caracterización de proteasas presentes en extractos totales y productos de secreción de taquizoítos de una cepa altamente virulenta de <i>Toxoplasma gondii</i>
C-LU-55	Rosalba Cruz Mirón Identificación y caracterización de una fosfatasa PP2C de <i>Toxoplasma gondii</i> y su posible papel en la regulación de la extrusión del conoide
C-LU-56	Luis Fernando Valenzuela Moreno Toxoplasmosis aguda diseminada en wallabies de Bennett ( <i>Macropus rufogriseus</i> ) ocasionada por un genotipo hasta ahora exclusivo de Sudamérica
C-LU-57	Luis Fernando Valenzuela Moreno Infecciones mixtas de <i>Toxoplasma gondii</i> en muflones y felinos silvestres de Puebla
C-LU-58	Luis Fernando Valenzuela-Moreno Genotipos de <i>Toxoplasma gondii</i> en felinos ferales de la costa de Quintana Roo (resultados preliminares)
C-LU-59	Alejandro Cruz-Reyes Análisis espacial en la predicción de riesgo de infección en humanos por parásitos de perros en el campus de la Universidad Nacional Autónoma de México (UNAM)
C-LU-60	Claudia Cervantes Rebolledo Presencia de parásitos intestinales en la población infantil del municipio de Ixtlahuaca estado de México
C-LU-61	Raúl Romero Cabello Hiperinfección por <i>Strongyloides stercoralis</i>
C-LU-62	María del Pilar Crisóstomo Vázquez Factores de riesgo asociados con la infección de parásitos intestinales en comunidades marginadas de Guerrero y Chihuahua



C-LU-63 Rosendo Arturo de Jesús Aragón Pech  
Parámetros de infección y factores asociados a parásitos intestinales en zarigüeyas (*Didelphis virginiana*) Kerr (1972), en seis comunidades rurales de Yucatán, México

C-LU-64 Leticia Ruiz González  
Presencia de parásitos zoonóticos en el bosque de Chapultepec de la ciudad de México

17:30-19:10

**SIMPOSIOS**

**LUNES 26 DE SEPTIEMBRE**

**NEMATODIASIS GASTROENTÉRICA EN RUMIANTES**

**Auditorio Carlos Graef Fernández**

**Coordinador: Liliana Aguilar Marcelino**

**17:30-17:55 Javier Alejandro Buendía Jiménez**

S-LU-16 Partial protection and abomasal cytokine expression in sheep experimentally infected with *Haemonchous contortus* and pre-treated with *Taenia hydatigena* vesicular concentrate

**17:55-18:20 Juan Pablo Martínez Labat**

S-LU-17 El uso y abuso de los antiparasitarios: el caso de la ivermectina

**18:20-18:45 Jorge Alfredo Cuéllar Ordaz**

S-LU-18 La desparasitación selectiva contra nematodos gastroentéricos, una opción contra el problema de resistencia a antihelmínticos en ovinos.

**18:45-19:10 Liliana Aguilar Marcelino**

S-LU-19 Hongos comestibles como una alternativa potencial de control de nematodos parásitos de rumiantes.

**TOXOPLASMOSIS**

**Anfiteatro Alfredo Barrera Marín**

**Coordinador: Ricardo Mondragón Flores**

**17:30-17:55 Ricardo Mondragón Flores**

S-LU-20 Caracterización de una cinasa S6 y una fosfatasa PP2C de *Toxoplasma* involucradas en la regulación de la extrusión del conoide y en invasión.

**17:55-18:20 Dolores Correa Beltrán**

S-LU-21 Respuesta inmune y variantes de *T. gondii* en toxoplasmosis congénita

**18:20-18:45 Rafael Saavedra**

S-LU-22 Regulación de la respuesta inmune contra *Toxoplasma gondii*

**18:45-19:10 Ma. De la Luz Galván Ramírez**

S-LU-23 Transición Epidemiológica de la toxoplasmosis en México.

**ENFERMEDADES TRANSMITIDAS POR MOSQUITOS**

**Aula Magna Leonila Vázquez**

**Coordinador: Humberto Lanz Mendoza**

**17:30:17:55 Fabiola Claudio Piedras**

S-LU-24 Papel de la metilación de los ácidos nucleicos de *Anopheles albimanus* en la susceptibilidad a la infección con *Plasmodium berghei*.





<b>17:55-18:20 Fidel de la Cruz Hernández Hernández</b>	S-LU-25 Análisis del fosfoproteoma de la línea celular C6/36 HT de <i>Aedes albopictus</i> en condiciones de estrés.	
<b>18:20-18:45 Salvador Hernández Martínez</b>	S-LU-26 Allatotropina: Neuropeptido allatotrópico que afecta la respuesta inmune de mosquitos vectores de malaria y dengue.	
<b>18:45- 19:10 Humberto Lanz Mendoza</b>	S-LU-27 Memoria inmunológica en el mosquito <i>Anopheles albimanus</i> a la infección con <i>Plasmodium</i> .	
<b>MARTES 27 DE SEPTIEMBRE</b>		
<b>Conjunto Amoxcalli, Facultad de Ciencias, UNAM</b>		
<b>8:30-15:00</b>	<b>REGISTRO Aula Sotero Prieto 3</b>	
<b>9:00-10:00</b>	<b>Conferencia Plenaria P02</b> <b>Auditorio Alberto Barajas Celis</b> "Identification of a novel transcription factor that regulates <i>Entamoeba</i> development" <b>Dra. Upinder Singh</b> Stanford University School of Medicine, California, USA	
<b>10:10-12:40</b>	<b>SIMPOSIOS</b>	<b>MARTES 27 DE SEPTIEMBRE</b>
<b>AMIBIASIS</b>		
<b>Auditorio Alberto Barajas Celis</b>		<b>Coordinador: Cecilia Ximénez</b>
<b>10:10-10:40 Alfonso Olivos García</b>	S-MA-28 La hipoxia intracelular y la respuesta de estrés HSP son condiciones necesarias para la virulencia de <i>Entamoeba histolytica</i>	
<b>10:40-11:10 Mario Alberto Rodríguez</b>	S-MA-29 Caracterización de proteínas metiltransferasas de <i>Entamoeba histolytica</i> .	
<b>11:10-11:40 María del Consuelo Gómez García</b>	S-MA-30 El control transcripcional de la Resistencia a Múltiples Fármacos (MDR) en <i>Entamoeba histolytica</i> .	
<b>11:40-12:10 Cecilia Ximénez</b>	S-MA-31 Demografía histórica y estructura poblacional de <i>Entamoeba histolytica</i> : la evolución de una interacción muy antigua entre humano y parásito.	
<b>12:10-12:40 Mineko Shibayama Salas</b>	S-MA-32 Patogenia de la meningoencefalitis amibiana primaria producida por <i>Naegleria fowleri</i> .	
<b>ANITPARASITARIOS</b>		
<b>Auditorio Carlos Graef Fernández</b>		<b>Coordinador: Emma Saavedra</b>



<b>10:10-10:40 Raúl Argüello García</b> S-MA-33 Evaluación de la actividad giardicida de componentes tipo tioalil del ajo ( <i>Allium sativum</i> L.).		
<b>10:40-11:10 Emma Saavedra</b> S-MA-34 Modelado de rutas metabólicas en parásitos para identificar / validar blancos terapéuticos.		
<b>11:10-11:40 Rafael Castillo</b> S-MA-35 Diseño, síntesis y actividad antiprotozoaria de nuevas carboxamidas bencimidazólicas.		
<b>11:40-12:10 Lilián Yépez Mulia</b> S-MA-36 Estudio y caracterización de la actividad leishmanicida de dos nuevos derivados del bencimidazol		
<b>12:10-12:40 Raúl Romero Cabello</b> S-MA-37 Eficacia y falla terapéutica de antiparasitarios en las helmintiasis.		
<b>HELMINTIASIS</b>		
<b>Anfiteatro Alfredo Barrera Marín</b>	<b>Coordinador: Jorge Luis de la Rosa Arana</b>	
<b>10:10-10:40 César Alvarez Guerrero</b> S-MA-38 Estudio sobre el ciclo biológico de <i>Gnathostoma binucleatum</i> en condiciones naturales y experimentales en el Estado de Nayarit		
<b>10:40-11:10 Fernando Alba Hurtado</b> S-MA-39 Efecto de las hormonas de la gestación sobre larvas de <i>Toxocara canis</i>		
<b>11:10-11:40 Juan Carlos Carpio Pedroza</b> S-MA-40 Vigilancia Epidemiológica y Prevalencia de Geohelminchos en México.		
<b>11:40-12:10 Jorge Luis de la Rosa Arana</b> S-MA-41 La demanda diagnóstica de las helmintosis tisulares en el InDRE y su extensión hacia animales domésticos y fauna silvestre.		
<b>12:10-12:40 Raquel Tapia Romero</b> S-MA-42 Hallazgos de la presencia de helmintos en pacientes oncológicos y sus manifestaciones posteriores a la quimioterapia		
<b>12:40-13:00</b>	<b>RECESO</b>	
<b>13:00-14:30</b>	<b>TRABAJOS LIBRES ORALES</b>	<b>MARTES 27 DE SEPTIEMBRE</b>
<b>ENTAMOEBAS</b>		
<b>Auditorio Carlos Graef Fernández</b>	<b>Coordinador: Mario Rodríguez</b>	
13:00-13:15 Luis A. Constantino-Jonapa O-MA-19 La GTPasa pequeña EhRab21 de <i>Entamoeba histolytica</i> se asocia a organelos ácidos durante el proceso de fagocitosis.		



13:15-13:30 Laurence A. Marchat  
O-MA-20 Identificación de aptámeros contra el factor de corte EhCFIm25 de *Entamoeba histolytica*.

13:30-13:45 Rusely Encalada Oregón  
O-MA-21 Efecto de la concentración de glucosa en el metabolismo energético de *Entamoeba histolytica*.

13:45-14:00 Fabiola Bello-Santos  
O-MA-22 Caracterización del factor de transcripción EhHSTF7 en trofozoítos de *Entamoeba histolytica* expuestos a estrés térmico y emetina.

14:00-14:15 César López Camarillo  
O-MA-23 El factor de transcripción EhPC4 activa un complejo programa genético que resulta en fallas de la citocinesis, multinucleación y formación de policariones en *Entamoeba histolytica*.

14:15-14:30 Enrique González Rivas  
O-MA-24 Modelo *ex vivo* para el análisis molecular del desarrollo del absceso hepático amibiano en tejido humano.

### ANTIPARASITARIOS

**Anfiteatro Alfredo Barrera Marín**

**Coordinador: Raúl Argüello García**

13:00-13:15 Sergio Andrade-Ochoa  
O-MA-25 Actividad trypanocida, leishmanicida y giardicida de aceites esenciales.

13:15-13:30 Mayra Herrera-Martínez  
O-MA-26 Actividad anti-amibiana de *Adenophyllum aurantium* (L.) Strother y su efecto sobre el citoesqueleto de actina de *Entamoeba histolytica*.

13:30-13:45 Vera Montenegro Yolanda  
O-MA-27 Evaluación del índice de toxicidad y genotoxicidad de un extracto hexánico con actividad fasciolicida, obtenidos a partir de estafiate (*Artemisia ludoviciana* Nutt. spp mexicana)

13:45-14:00 Omar Escobar Chavarria  
O-MA-28 Efecto de dos etil-carbamatos sobre cultivos celulares de *Rhipicephalus microplus*.

14:00-14:15 Carlos Armando Solares Flores  
O-MA-29 Evaluación de la toxicidad aguda del compuesto ixodicida 712-BF-016 en bovinos Limousin.

14:15-14:30 Rafael Heredia Cárdenas  
O-MA-30 Efectos antihelmínticos de cebolla y tequesquite en ovinos.

### PARÁSITOS DE ANIMALES SILVESTRES

**Aula Magna Leonila Vázquez**

**Coordinador: Juan Joel Mosqueda**

13:00-13:15 Bertha Carvajal-Gámez  
O-MA-31 Amplificación isotérmica basada en horquillas (LAMP) para el diagnóstico molecular de *Babesia bovis*.

13:15-13:30 Guillermo Aarón García Hinojosa  
O-MA-32 Determinación de la prevalencia de parásitos gastrointestinales en perros de hogares temporales en la ciudad de Chihuahua.



13:30-13:45	Said Rafael Prado Avila	O-MA-33	Identificación de ectoparásitos vectores de enfermedades zoonóticas en dos localidades del estado de Chihuahua, México.
13:45-14:00	Brenda Camacho Macías	O-MA-34	Análisis parasitológico de excretas de gato montés ( <i>Lynx rufus</i> ) en la zona conurbada de Querétaro, México.
14:00-14:15	Tabata Berenice González García	O-MA-35	Transmisión de <i>Toxocara canis</i> de cucarachas <i>Periplaneta americana</i> a ratas.
14:15-14:30	Adrián Hernández Ortiz	O-MA-36	Estudio serológico de <i>Trichinella sp.</i> en prociónidos y animales sinantrópicos del Parque-Museo La Venta en Tabasco, México.
<b>14:30-16:00</b>	<b>COMIDA</b>		
<b>16:00-17:30</b>	<b>CARTELES</b>	<b>MARTES 27 DE SEPTIEMBRE</b>	
C-MA-01	Patricia Padilla Aguilar		Lesiones causadas por acantocéfalos en el tubo digestivo de aves acuáticas ( <i>Anatidae: anatinae</i> )
C-MA-02	Zurya Díaz González-Gómez		Identificación molecular de larvas de tercer estadio de <i>Anisakis spp.</i> (Nematoda: <i>Anisakidae</i> ) parásitas de la trucha arcoíris <i>Oncorhynchus mykiss</i> Walbaum del Estado de Oregón, EUA.
C-MA-03	Edgar Uriel Garduño Montes de Oca		Registro nuevo de <i>Nybelinia</i> (Cestoda: Trypanorhyncha) parásito del pez globo <i>Diodon hystrix</i> en el Pacífico Mexicano.
C-MA-04	Jhonatan Cabañas Granillo		Registro taxonómico de algunos digéneos de peces marinos de Oaxaca, México.
C-MA-05	Sandra Ramos López		Presencia de microfilarias de <i>Dirofilaria spp</i> en perros de municipios del estado de Guanajuato
C-MA-06	Juan Pablo Martínez Labat		Mecánica migratoria de las infectantes de <i>Ancylostoma caninum</i> en hospederos paraténicos usando el modelo en ratones blancos de la cepa CD-1 induciendo la infección.
C-MA-07	Froylán Ibarra Velarde		Eficacia de fipropets y fipropets-m epicutáneo contra garrapatas <i>Rhipicephalus sanguineus</i> en perros infestados en forma natural
C-MA-08	Maribel Strassburger Madrigal		Evaluación de la mutagenicidad de dos nuevos ixodíctidos para el control de <i>Rhipicephalus microplus</i> .
C-MA-09	Marco Antonio Moreno Pérez		Artrópodos ectoparásitos de zorra gris ( <i>Urocyon cinereoargenteus</i> ) y perros peridomésticos en zonas suburbanas de Querétaro.



C-MA-10	Sandra Lizeth Iturbe Requena Ecotoxicidad de dos nuevos ixodicidas sobre lombrices de tierra <i>Eisenia foetida</i>
C-MA-12	Mariana González-Díaz Reporte de caso: <i>Cryptosporidium canis</i> en dos infantes en el Noroeste de México
C-MA-13	Raquel Tapia-Romero, Tratamiento con hidroxiurea (hu) en el modelo murino de leishmaniosis cutanea difusa por leishmania mexicana.
C-MA-14	Gabriela García Pérez Epidemiología Molecular de <i>Entamoeba gingivalis</i> en pacientes con enfermedad periodontal.
C-MA-15	Liseth Rubí Aldaba-Muruato Modulación diferencial de Nrf2 y de NF-kappak B durante el desarrollo del absceso hepático amibiano en hámster
C-MA-16	Andrea Cruz-Baquero <i>Entamoeba histolytica</i> induce la formación de NETs en neutrófilos aislados de ratón y hámster
C-MA-17	Vanessa Díaz Medina Sobreexpresión de la proteína EhTRF-like de <i>E. histolytica</i>
C-MA-18	Edmundo Axel Juárez Pérez Participación de las proteínas fosfatasas de <i>Entamoeba histolytica</i> en la secreción de citocinas por macrófagos y en el desarrollo del absceso hepático amibiano experimental
C-MA-19	Elizabeth Jacqueline Castañeda Ortiz Efecto de la sobre expresión del factor transcripcional myb10 en <i>Entamoeba histolytica</i>
C-MA-20	Graciela Mendoza Franco Evaluación del efecto del Litio en eventos involucrados en la invasión de trofozoítos de <i>Entamoeba histolytica</i>
C-MA-21	Marisol Méndez Vázquez La vía de reducción de oxígeno de <i>Entamoeba histolytica</i> es constitutiva e incrementa en hiperoxia <i>in vitro</i> y durante el desarrollo del absceso hepático amibiano experimental en hámster
C-MA-22	Nallely Chávez Rodríguez Mecanismos de resistencia natural del ratón a la amibiasis hepática experimental
C-MA-23	Abril Navarrete-Mena Expresión diferencial de proteínas fosfatasas PP2C en <i>Entamoeba histolytica</i> y en <i>E. dispar</i>
C-MA-24	Francisco J. Rendón-Gandarilla Localización de la proteína EhTFR-like III en <i>E. histolytica</i>
C-MA-25	Sairy Yarely Andrade Guillén Caracterización de la familia de esfingomielinasas neutras de <i>Entamoeba histolytica</i>



C-MA-26	Ulises Juan Carlos Magaña Núñez Polimorfismos de los genes implicados en la respuesta inmunoinflamatoria y la relación con la susceptibilidad al desarrollo de absceso hepático amibiano en población mexicana
C-MA-27	J. Antonio Velázquez-Domínguez Efecto del diterpeno linearolactora sobre la actividad proteómica de <i>Entamoeba histolytica</i> HM1:IMSS
C-MA-28	María del Rosario Campos Esparza <i>Entamoeba histolytica</i> induces human neutrophils to form NETs.
C-MA-29	Fátima Berenice Ramírez Montiel Caracterización de dos cepas de <i>Entamoeba histolytica</i> genéticamente relacionadas que presentan diferente fenotipo de virulencia
C-MA-30	Leonardo Avendaño Juárez Actividad de benzimidazoles sobre <i>Entamoeba histolytica</i>
C-MA-31	Brisna Joana Tovar-Ayona Identificación de proteínas que interactúan con el factor de corte EhCFIm25 de <i>Entamoeba histolytica</i>
C-MA-32	Brenda Solórzano García Helmintos parásitos de primates no humanos en México
C-MA-33	Claudia Irais Muñoz-García Identificación de huevos de helmintos en monos aulladores de Tabasco
C-MA-34	Irene P. del Arenal Mena La tiorredoxina glutatión reductasa como blanco farmacológico en platelmintos parásitos.
C-MA-35	Juan Pablo Martínez Labat Evaluación de la actividad antiparasitaria del Tequesquite, comparado con el Closantel y la Ivermectina en el tratamiento de la verminosis gastroentérica en ovinos con infección natural en el Municipio de Acambay, Estado de México.
C-MA-36	María de Lourdes Caballero-García Análisis serológico de pacientes pediátricos con diferentes tipos de asma del Hospital Infantil de México Federico Gómez y su relación con infecciones producidas por helmintos.
C-MA-37	Rosa Isabel Higuera Piedrahita Evaluación molecular de Trompetilla ( <i>Bouvardia ternifolia</i> ) y olorosa ( <i>Asperula odorata</i> ) como potenciales antihelmínticos en ovinos.
C-MA-38	Víctor Trejo Meléndez Comunidad de helmintos de <i>Incillius marmoreus</i> Wiegmann, 1833 ( <i>Anura: Bufonidae</i> ) del Cerro del Tepezcuintle en Tuxtepec, Oaxaca, México
C-MA-39	Yokomi Nisei Lozano-Sardaneta Análisis morfológico y molecular de <i>Hymenolepis diminuta</i> en <i>Rattus rattus</i> de Real del Monte, Hidalgo



C-MA-40	Brenda Osornio Lucio Efecto de la administración de los productos excreción-secreción (ES) de <i>Hymenolepis nana</i> en la diabetes experimental murina inducida por streptozotocina
C-MA-41	Laura Pérez Núñez Efecto de la infección con <i>Hymenolepis nana</i> en la diabetes experimental murina inducida por streptozotocina
C-MA-42	Jossué Jiménez-Armenta Posición filogenética de <i>Myzobdella patzcuarensis</i> (Hirudinea: Piscicolidae) con base en caracteres moleculares
C-MA-43	Nadía Guadalupe Flores Huerta Purificación e identificación de proteínas de membrana de <i>Naegleria</i>
C-MA-44	Moisés Martínez-Castillo Análisis proteómico de una mucinasa secretada por <i>Naegleria fowleri</i>
C-MA-45	Arturo Contis Montes de Oca <i>Naegleria fowleri</i> induce en PMNs liberación de NETs en mucosa nasal y cerebro de ratones con meningoencefalitis amibiana primaria
C-MA-46	Daniel Coronado-Velázquez Caracterización de las alteraciones provocadas por <i>Naegleria fowleri</i> en un modelo <i>in vitro</i> de barrera hematoencefálica
C-MA-47	Fidel Orlando Buendía González Efecto de la testosterona en la expresión génica de INF- $\gamma$ y TNF- $\alpha$ en ratones infectados con <i>P. berghei</i> ANKA.
C-MA-48	Jesús Aguilar Castro Efecto de la administración de estradiol sobre el peso, la temperatura y la parasitemia en un modelo de malaria murina.
C-MA-48	Luis Antonio Cervantes Candelas El tamoxifeno incrementa la concentración de IgG totales e IgM de ratones CBA/Ca infectados con <i>Plasmodium berghei</i> ANKA
C-MA-50	Luz Ofelia Franco Sandoval Determinación de la actividad antipalúdica de <i>Krameria cystisoides</i> sobre <i>Plasmodium berghei</i> .
C-MA-51	Omar Fernández Rivera Evaluación del efecto antimalárico de la infusión de <i>Cymbopogon citratus</i> y <i>Curcuma longa</i> en ratones CBA/Ca infectados con <i>Plasmodium berghei</i> ANKA
C-MA-52	Verónica Valverde-Garduño Interacciones parásito-vector en el intestino del mosquito: análisis por Genética Reversa
C-MA-53	Elba Carrasco Ramírez Desarrollo de linfoma de Burkitt en ratón CD-1 inmune a <i>Plasmodium yoelii yoelii</i>



C-MA-54	Guillermo Herrera-Ibarra Análisis morfométrico de <i>Protomicrocotyle mirabilis</i> (MacCallum, 1918) Johnston y Tiegs, 1922 en <i>Caranx hippos Linnaeus, 1763</i> , en dos localidades del Golfo de México	
C-MA-55	Rodolfo Esteban Lagunes Quintanilla Evaluación de la capacidad inmunoprotectora de un péptido recombinante de Subolesin sobre la infestación de garrapatas <i>Rhipicephalus microplus</i>	
C-MA-56	Leticia Calderón Romero Fasciolosis en paciente de la tercera edad	
C-MA-57	Samuel Ortega Vargas Construcción de una proteína quimérica rFhLAP-CL1 como posible uso en inmunoprofilaxis contra <i>Fasciola hepatica</i> .	
C-MA-58	Yazmín Alcalá-Canto Base de datos georreferenciada sobre registros de ocurrencias de <i>Fasciola hepatica</i> y proyección de su distribución futura en México	
C-MA-59	José Luis Romero Zamora Fasciolosis hepática en una niña de tres años	
C-MA-60	Froylán Ibarra Velarde Determinación de la dosis efectiva de un fasciolicida inyectable en ovinos infectados en forma experimental	
C-MA-61	Guadalupe Gordillo Pérez <i>Borrelia burgdorferi</i> en garrapatas colectas sobre perro de Nuevo León, Yucatán y Campeche.	
C-MA-62	Vianey Carolina Jimeno Troncoso Caracterización de la región estructural del gen que codifica para la glutatión transferasa sigma de <i>Taenia solium</i> (TsGSTs)	
<b>17:30-19:10</b>	<b>SIMPOSIOS</b>	<b>MARTES 27 DE SEPTIEMBRE</b>
<b>ENFERMEDADES TRANSMITIDAS POR GARRAPATAS</b>		
<b>Auditorio Carlos Graef Fernández</b>		
<b>Coordinador: Juan Joel Mosqueda Gualito</b>		
<b>17:30-17:55</b>	<b>Carolina G. Sosa Gutiérrez</b> S-MA-43 Enfermedades rickettsiales transmitidas por garrapata (TBRD); situación actual en México.	
<b>17:55-18:20</b>	<b>Gerardo Alvarez</b> S-MA-44 Aspectos clínicos y epidemiológicos de la Fiebre Manchada por <i>Rickettsia rickettsii</i> en Sonora, México	
<b>18:20-18:45</b>	<b>Guadalupe Gordillo Pérez</b> S-MA-45 Enfermedad de Lyme y otras zoonosis emergentes transmitidas por garrapata. Estado actual en México	
<b>18:45-19:10</b>	<b>Juan Joel Mosqueda Gualito</b> S-MA-46 Desarrollo de vacunas y métodos de diagnóstico para las enfermedades transmitidas por garrapatas.	





<b>ENSEÑANZA DE LA PARASITOLOGÍA</b>	
<b>Anfiteatro Alfredo Barrera Marín</b>	<b>Coordinador: Fernando Anaya Velázquez</b>
<b>17:30-17:45 Benjamín Nogueta Torres</b> S-MA-47 Enseñanza de la Parasitología en la carrera de Químico Bacteriólogo Parasitólogo del Instituto Politécnico Nacional.	
<b>17:45-18:00 Aurora Elvira Candil Ruiz</b> S-MA-48 La enseñanza de la Parasitología en la Facultad de Medicina, UNAM.	
<b>18:00-18:15 Ana Flisser Steinbruch</b> S-MA-49 La enseñanza de parasitología y más	
<b>18:15-18:30 Juan Pablo Martínez Labat</b> S-MA-50 La enseñanza de la Parasitología en una dependencia multidisciplinaria descentralizada en la UNAM: el caso de la FES-Cuautitlán	
<b>18:30-18:45 Fernando Anaya Velázquez</b> S-MA-51 Enseñanza de la parasitología médica en la licenciatura en QFB en la Universidad de Guanajuato.	
<b>18:45-19:10 DISCUSIÓN</b>	
<b>MALARIA</b>	
<b>Aula Magna Leonila Vázquez</b>	<b>Coordinador: Fidel de la Cruz Hernández Hernández</b>
<b>17:30-17:55 Lorena González López</b> S-MA-52 Ubiquitación durante el ciclo intraeritrocítico de <i>Plasmodium chabaudi</i> .	
<b>17:55-18:20 Fidel de la Cruz Hernández Hernández</b> S-MA-53 Cambios en el fosfoproteoma durante la gametogénesis de <i>Plasmodium berghei</i> .	
<b>18:20-18:45 Lilia González Cerón</b> S-MA-54 Evidencias de la selección y adaptación de <i>Plasmodium vivax</i> a vectores locales en Mesoamérica.	
<b>18:45-19:10 Martha Legorreta Herrera</b> S-MA-55 Tratamiento antimalárico, volver al futuro.	
<b>MIÉRCOLES 28 DE SEPTIEMBRE</b>	
<b>Conjunto Amoxcalli, Facultad de Ciencias. UNAM</b>	
<b>8:30-15:00 REGISTRO Aula Sotero Prieto 3</b>	
<b>9:00-10:00</b>	<b>Conferencia plenaria P03</b> <b>Auditorio Alberto Barajas Celis</b>  "Interactions between helminth colonization and the gut microbiota"  <b>Dr. P'ng Loke</b>  New York University School of Medicine, NY, USA



10:10-12:40	SIMPOSIOS	MIÉRCOLES 28 DE SEPTIEMBRE
<b>TENIOSIS / CISTICERCOSIS</b>		
<b>Auditorio Alberto Barajas Celis</b>		<b>Coordinador: Juan Pedro Laclette San Román</b>
<b>10:10-10:40</b>	<b>Juan Pedro Laclette San Román</b>	S-MI-56 Ómica de <i>Taenia solium</i> .
<b>10:40-11:10</b>	<b>Fela Mendlovic Pasol</b>	S-MI-57 La calreticulina recombinante de <i>Taenia solium</i> previene la colitis murina experimental inducida por TNBS.
<b>11:10-11:40</b>	<b>Agnès Odile Marie Fleury</b>	S-MI-58 Los retos actuales del tratamiento de la neurocisticercosis humana.
<b>11:40-12:10</b>	<b>Edda Sciutto Conde</b>	S-MI-59 La teniasis cisticercosis ¿una enfermedad erradicable en México?
<b>12:10-12:40</b>	<b>Ana Flisser Steinbruch</b>	S-MI-60 Mi vida académica en la cisticercosis y la teniosis debidas a <i>Taenia solium</i>
<b>CHAGAS</b>		
<b>Auditorio Carlos Graef Fernández</b>		<b>Coordinador: Rebeca Georgina Manning Cela</b>
<b>10:10-10:40</b>	<b>Rebeca Manning Cela</b>	S-MI-61 <i>Trypanosoma cruzi</i> . estudio de transcriptómica y proteómica diferencial.
<b>10:40-11:10</b>	<b>Bertha Espinoza Gutiérrez</b>	S-MI-62 Respuesta inmune sistémica y de mucosas a cepas DTU1 de <i>Trypanosoma cruzi</i> .
<b>11:10-11:40</b>	<b>Janine M. Ramsey Willoquet</b>	S-MI-63 Exposición a la transmisión vectorial de <i>Trypanosoma cruzi</i> en México: evidencias, mitos y retos.
<b>11:40-12:10</b>	<b>Paz Maria Salazar Schettino</b>	S-MI-64 La enfermedad de Chagas en niños en México
<b>12:10-12:40</b>	<b>Eric Dumonteil</b>	S-MI-65 Desarrollo de vacunas contra la enfermedad de Chagas.
<b>GIARDIOSIS</b>		
<b>Anfiteatro Alfredo Barrera Marín</b>		<b>Coordinador: Guadalupe Ortega Pierres</b>
<b>10:10-10:40</b>	<b>Martha Ponce Macotela</b>	S-MI-66 <i>Giardia intestinalis</i> . en la búsqueda de genotipos zoonóticos y trofozoítos invasivos.
<b>10:40-11:10</b>	<b>Guadalupe Ortega Pierres</b>	S-MI-67 Disruption of intestinal homeostasis in gerbils by <i>Giardia duodenalis</i> trophozoites that stably express a cathepsin B protease or the variable surface protein VSP9B10A.



<b>11:10-11:40</b>	<b>Lilián Yépez Mulia</b>
S-MI-68	Análisis proteómico y de adherencia a células epiteliales Caco-2 de un aislado clínico resistente a la nitazoxanida.
<b>11:40-12:10</b>	<b>Rosa María Bermúdez Cruz</b>
S-MI-69	Participación de genes de la recombinación homóloga en la reparación del ADN en <i>Giardia duodenalis</i> .
<b>12:10-12:40</b>	<b>Horacio Reyes Vivas</b>
S-MI-70	Compuestos Análogos al Omeprazol con Elevada Capacidad Antigiardiásica.
<b>12:40-13:00</b>	<b>RECESO</b>
<b>13:00-14:30</b>	<b>TRABAJOS LIBRES ORALES MIERCOLES 28 DE SEPTIEMBRE</b>
<b>TRYPANOSOMA</b>	
<b>Auditorio Carlos Graef</b>	<b>Coordinador Santiago Martínez Calvillo</b>
13:00-13:15	Zabdi González-Chávez
O-MI-37	Evaluación in vivo de las enzimas que controlan el metabolismo del tripanotión en <i>Trypanosoma cruzi</i> .
13:15-13:30	Margarita Rubio-Ortiz
O-MI-38	Evaluación funcional de la participación de TcPAR-2, Tc-Arrestina y TcPTS-1 en el proceso de diferenciación de <i>Trypanosoma cruzi</i> .
13:30-13:45	Karla Daniela Rodríguez Hernández
O-MI-39	Muerte celular inducida por cumarinas aisladas del árbol <i>Calophyllum brasiliense</i> en <i>Trypanosoma cruzi</i> (DTU1).
13:45-14:00	Aketzalli Silva-Carmona
O-MI-40	Evaluación del efecto del Benznidazol y del Nifurtimox en el metabolismo antioxidante de <i>Trypanosoma cruzi</i> .
14:00-14:15	Teresa Itandehui Martínez Cuevas
O-MI-41	Caracterización Biológica y genotipificación de aislados de <i>Trypanosoma cruzi</i> obtenidos en el Estado Oaxaca, México.
14:15-14:30	Salvador Zamora Ledesma
O-MI-42	Presencia de anticuerpos de <i>Trypanosoma cruzi</i> , <i>Leishmania mexicana</i> y <i>Leishmania infantum</i> en cánidos silvestres y domésticos de Querétaro, México.
<b>BIOQUIMICA E INMUNOLOGIA DE HELMINTOS</b>	
<b>Anfiteatro Alfredo Barrera Marín</b>	<b>Coordinador Guillermina Ávila</b>
13:00-13:15	Jeanette Flores Bautista
O-MI-43	Destino de las proteínas del huésped internalizadas por cisticercos de <i>Taenia crassiceps</i> .



13:15-13:30	Guillermina Avila Ramírez	O-MI-44	Adaptación de un aislado de <i>Hymenolepis nana</i> de origen humano al modelo murino. Características parasitológicas e inmunológicas.
13:30-13:45	Christian Alejandro García Ávila	O-MI-45	La proteína 14-3-3 de <i>Taenia solium</i> en su capacidad inmunodiagnóstica de cisticercosis porcina.
13:45-14:00	Vera Teresa Vega-Angeles	O-MI-46	Efecto de la fracción de glutatión transferasa (FGST) de <i>Taenia solium</i> sobre la respuesta inmune de ratón.
14:00-14:15	Agustín Plancarte	O-MI-47	Tiorredoxina (Trx) y glutarredoxina (Grx) de <i>Taenia solium</i> , su expresión funcional y caracterización bioquímica y cinética.
14:15-14:30	Guadalupe Ortega Pierres	O-MI-48	Proteomic analysis and immunodetection of antigens from early developmental stages of <i>Trichinella spiralis</i> .
<b>PROTOZOARIOS 2 (<i>Giardia</i>, <i>Naegleria</i> y <i>Trichomonas</i>)</b>			
<b>Aula Leonila Vázquez</b>		<b>Coordinador Gloria León Avila</b>	
13:00-13:15	María Luisa Bazán Tejeda	O-MI-49	Análisis de la expresión del gen putativo de la gPKC beta de <i>Giardia duodenalis</i> .
13:15-13:30	Gloria León Avila	O-MI-50	Sobreexpresión de las proteínas MDR1 y ABC transportadora 3 en trofozoítos de <i>Giardia intestinalis</i> tratados con albendazol, nitazoxanida y metronidazol.
13:30-13:45	Berenice González Rete	O-MI-51	Análisis de la secuencia del gen crp136 de trofozoítos de <i>Giardia intestinalis</i> de 10 aislados obtenidos de diferentes hospederos.
13:45-14:00	Roberto Cárdenas-Zúñiga	O-MI-52	Descripción de la autofagia en la amiba de vida libre <i>Naegleria gruberi</i> .
14:00-14:15	Paula Guzmán Téllez	O-MI-53	Migración y proliferación de trofozoítos de <i>Naegleria fowleri</i> inducida por Glutamato.
14:15-14:30	Luis Alberto Rivera-Rivas	O-MI-54	Efecto de la glucosa en la expresión y localización de una CP tipo catepsina-L de <i>Trichomonas vaginalis</i> .
<b>14:30-16:00</b>	<b>COMIDA</b>		
<b>16:00-17:30</b>	<b>CARTELES</b>	<b>MIÉRCOLES 28 DE SEPTIEMBRE</b>	
C-MI-02	Yadira Rufino González		Efecto anti-giardiasico de la F6 de <i>Lippia graveolens</i> en <i>Meriones unguiculatus</i>



C-MI-03	Eduardo García Huerta Construcción de un sistema CRISPR/Cas9 para edición de genes en <i>Giardia duodenalis</i> .
C-MI-04	Juan Carlos García Solís Análisis de la posible participación de la proteína tipo citocromo P450 en la resistencia a albendazol en <i>Giardia duodenalis</i>
C-MI-05	Rodrigo Quezada Lázaro Efecto de la sobreexpresión de la proteína catepsina tipo B en trofozoítos de <i>Giardia duodenalis</i> sobre la homeostasis intestinal empleando el modelo experimental de jerbo ( <i>Meriones unguiculatus</i> )
C-MI-06	Sara Espinoza Corona Diseño y construcción de un sistema inducible generador de DSB dirigido en <i>Giardia duodenalis</i>
C-MI-07	Yéssica Vázquez Cóbix Efecto de la proteína VSP9B10A de <i>Giardia duodenalis</i> sobre el epitelio intestinal empleando el modelo experimental de gerbos ( <i>Meriones unguiculatus</i> ).
C-MI-09	Rocío Fonseca Liñán Evaluación del efecto de trofozoitos que expresan Catepsina tipo B tratados con TPCK previo a la interacción con células epiteliales y en un modelo experimental de jerbos ( <i>Meriones unguiculatus</i> )
C-MI-10	Anel Edith Lagunes Guillén Estructuras positivas a DAB y a anticuerpo antiperóxiredoxina en <i>Giardia lamblia</i> .
C-MI-11	Jorge Rodríguez González Papel del glutatión en la inhibición de la apoptosis ejercida por <i>Leishmania mexicana</i> en las células dendríticas humanas
C-MI-12	Laura Patricia Texco Martínez Estudio de la relación neuroinmunoendocrina en la Neurocisticercosis
C-MI-13	Antonio Meza-Lucas Visión histórica del diagnóstico serológico de la cisticercosis en el InDRE, México (1988-2015)
C-MI-14	Arlet Veloz Contreras, J. Martín Patricio Gómez <i>Taenia Crassiceps</i> WFU sintetiza andrógenos <i>in vitro</i>
C-MI-15	Carolina Miranda-Brito miRNAs del cisticerco de <i>Taenia crassiceps</i>
C-MI-16	Diana Gabriela Ríos Valencia Caracterización preliminar de septinas en <i>Taenia crassiceps</i> cepa ORF
C-MI-17	Yazmin Mompala García Caracterización de las proteínas anexina y vimentina por estudios de inmunquímica en cisticercos de <i>Taenia crassiceps</i> cepa ORF
C-MI-18	Narda Karina Castro Nolasco Probables antígenos diagnósticos contra la cisticercosis humana



C-MI-19	Agustín Plancarte Caracterización bioquímica y cinética de las isoformas de glutatión transferasas de cisticercos de <i>Taenia crassiceps</i>
C-MI-20	Dolores Adriana Ayón Núñez Identificación de las proteínas de <i>Taenia solium</i> que unen plasminógeno como potenciales factores asociados a la invasividad del parásito
C-MI-21	Manuel Gutiérrez Quiroz Seroprevalencia de anticuerpos anti-cisticerco de <i>Taenia solium</i> en pacientes del Hospital General "Dr. Jorge Soberón Acevedo" de Iguala Guerrero
C-MI-22	Olivia Alicia Reynoso Ducoing Análisis proteómico e inmunoproteómico del citoesqueleto de cisticercos de <i>Taenia solium</i> .
C-MI-23	Andrea Alamán-de-Regules Identificación de antígenos potencialmente protectores reconocidos por anticuerpos clase específicos intestinales producidos en ratas inmunizadas con antígeno soluble del estadio adulto de <i>Trichinella spiralis</i>
C-MI-24	Aléxis Yovani Témiz Zárate Efecto protector del componente inmunodominante de 239 kDa del estadio adulto de <i>Trichinella spiralis</i> en la rata
C-MI-25	Jorge-Luis de-la-Rosa-Arana Búsqueda de anticuerpos contra <i>Trichinella spiralis</i> en caballos faenados en tres rastros municipales ubicados en Centro, Este y Oeste de México.
C-MI-26	Norma Itzel García Reynoso Efecto de la inmunización con antígeno soluble del estadio adulto de <i>Trichinella spiralis</i> en la respuesta de anticuerpos clase específicos y su especificidad a nivel sistémico en modelo murino
C-MI-27	Gladys Eunice Garza Marroquín Caracterización molecular e inmunolocalización del componente de membrana del receptor a progesterona 2 (PGRMC-2) de la larva muscular de <i>Trichinella spiralis</i>
C-MI-28	Krystal Maya Maldonado Identificación de proteínas de excreción-secreción de bajo peso molecular de la larva muscular de <i>Trichinella spiralis</i> que potencialmente inhiben la formación de miotubos en cultivo primario de mioblastos
C-MI-29	Lizbeth Hernández Ancheyta Los productos de excreción-secreción de <i>Trichinella spiralis</i> producen cambios en la diferenciación de cultivos primarios de mioblastos
C-MI-30	Orlando Nava del Río Viabilidad e infectividad de L1 de <i>Trichinella spiralis</i> post cultivo <i>in vitro</i> con diferentes medios convencionales
C-MI-31	Sandra María Paredes-Sandoval Efecto de los antígenos de excreción-secreción de <i>Trichinella spiralis</i> en la infección por el virus del dengue.



C-MI-32	Jose Luis Vique Sanchez Diseño de fármacos contra la tricomoniasis
C-MI-33	Fernando Ramos Reyes Prevalencia de <i>Trichomonas tenax</i> en personas con periodontitis que acuden a la Clínica de Periodoncia e Implantología en Ciudad Universitaria
C-MI-34	Leticia Ávila González Presencia de proteínas tipo ferritina relacionadas con el almacenaje de hierro en <i>Trichomonas vaginalis</i> .
C-MI-35	Maribel Santiago Rodríguez Implementación de un procedimiento de Electroforesis de Campos Pulsados bidimensional en minigeles (2D-miniPFGE) para subtipificar aislados de <i>Trichomonas vaginalis</i>
C-MI-36	Mara Jaqueline Ramos-Millán Estudio de las proteínas de secreción de <i>Trichomonas vaginalis</i> durante su interacción con células prostáticas DU-145 en presencia de Zn
C-MI-37	María Viviana Valle-Cabrera Actividad trichomonocida <i>in vitro</i> de algunas plantas utilizadas en la medicina tradicional mexicana
C-MI-38	Miriam Dinora Montero Cortés Estudio del comportamiento antiparasitario de un deriva de quinazolina, diseñado como agente inductor de estrés oxidante.
C-MI-39	Rubén D. Arroyo-Olarte Protocolo de inducción de metacitogénesis <i>in vitro</i> sugiere resistencia diferencial a estrés ácido y nutricional entre dos cepas mexicanas tipo TcI con distinta virulencia
C-MI-40	Cristina Bastida Jaime Caracterización genética y biológica de DTU's (Discrete Typing Units) en cepas mexicanas de <i>Trypanosoma cruzi</i> .
C-MI-41	Brizia Oria Martínez Identificación de linajes genéticos de <i>Trypanosoma cruzi</i> en didélfidos de una zona silvestre del estado de Tabasco.
C-MI-42	Linda Verónica Campos-Fernández Diseño, síntesis y evaluación biológica de análogos de benznidazol para el tratamiento de la Tripanosomiasis Americana.
C-MI-43	Carolina Barrientos Salcedo Análisis preliminar del genoma completo de una cepa de <i>Trypanosoma cruzi</i> circulante en el estado de Veracruz
C-MI-44	Elvia Rodríguez Bataz Prevalencia de la enfermedad de Chagas en la localidad de Xochistlahuaca, Guerrero, México
C-MI-45	Génesis Dehesa Rodríguez Un modelo de infección por vía oral con <i>Trypanosoma cruzi</i>



C-MI-46	Manuel Gutiérrez Quiroz Seropositividad a <i>Trypanosoma cruzi</i> en sueros procedentes de un banco de sangre
C-MI-47	Israel Felipe Canela Pérez RNA polimerasa I de <i>Trypanosoma cruzi</i> : Caracterización de la señal de localización nuclear de la subunidad RPA31
C-MI-48	Joselin Díaz Valdez Mayor prevalencia y diversidad de DTU's de <i>Trypanosoma cruzi</i> en hembras de triatomíneos (Hemiptera: Reduviidae) de Los Tuxtlas, Veracruz, México
C-MI-49	Juan Felipe Osorio Méndez Expresión e identificación de ligandos de una proteína de unión a actina en <i>Trypanosoma cruzi</i>
C-MI-50	Julio César López Cedillo Evaluación biológica <i>in vitro</i> de nuevos derivados de quinoxalinas como potenciales agentes para el tratamiento farmacológico de la enfermedad de Chagas
C-MI-51	Lilian Hernández-Mendoza Efecto de productos subcelulares de <i>Trypanosoma cruzi</i> sobre la expresión de citocinas en macrófagos J774
C-MI-52	Luis Adrián de Jesús González Datos epidemiológicos de una población seropositiva a <i>Trypanosoma cruzi</i> del área metropolitana del Valle de México
C-MI-54	Marlen Beatriz Mejía Tlachi Análisis del efecto inhibitor de la butionina sulfoximina en el sistema antioxidante de <i>Trypanosoma cruzi</i>
C-MI-55	Nancy Mendoza Bazán Obesidad como factor que modula la parasitemia y el tropismo durante la enfermedad de Chagas en modelo murino.
C-MI-56	Omar Alejandro Sepúlveda Robles Búsqueda y análisis de compuestos activos contra <i>Trypanosoma cruzi</i> e identificación de sus blancos terapéuticos
C-MI-57	Edgar Quezada-Ruiz. Identificación de una lisozima tipo "c" en diferentes órganos y en el sistema circulatorio de <i>Triatoma (Meccus) pallidipennis</i> .
C-MI-58	José Trinidad Sánchez-Vega Enfermedad de Chagas: Informe de un caso (fase aguda) diagnosticado mediante xenodiagnóstico.
C-MI-59	Sandra Alhelí Pineda Rodríguez Transmisión activa de <i>Trypanosoma cruzi</i> en la población de la localidad de Tecapulco, municipio de Taxco, Guerrero, México
C-MI-60	Andrea Cristina Vizcaíno-Castillo Expresión de una variante de actina (TcA2) en <i>Trypanosoma cruzi</i>





C-MI-61 Yobana Pérez Cervera  
Estudio de la O-GlcNAcilación y citocinas inflamatorias en macrófagos humanos infectados por  
*Trypanosoma cruzi*

C-MI-62 Citlali Vázquez Martínez  
Análisis del control de la gama-glutamilcisteína sintetasa sobre la síntesis de tripanotión en  
*Trypanosoma cruzi*

C-MI-63 Alberto Antonio-Campos  
Hábitos alimenticios de triatomíneos capturados en Oaxaca, México

**17:30 - 18:30**

**Conferencia de Clausura**

**Auditorio Alberto Barajas Celis**

"Parasitismo y coevolución: hacia una perspectiva darwinista."

**Dr. Antonio Lazcano Araujo**

Miembro del Colegio Nacional. Facultad de Ciencias, UNAM, México

CLAUSURA

18:30 - 19:00

20:00 – EN ADELANTE

**NOCHE MEXICANA**

Restaurante CASA CLUB DEL ACADEMICO  
Av. Universidad No, 301 CP 04510, Ciudad Universitaria

(COSTO ADICIONAL A LA INSCRIPCIÓN AL CONGRESO)